

Flüssigimprägnierung von Naturfasertextilien im Vergleich mit synthetischen Faserverstärkungen

4a Technologietag 2017

Yannick Blößl, M.Sc.* Prof. Ralf Schledjewski*

*Lehrstuhl für Verarbeitung von Verbundwerkstoffen

24.03.2017

© Lehrstuhl Verarbeitung von Verbundwerkstoffen Yannick Blößl, M.Sc.

Inhalt

- Definition Naturfaserverstärkter Kunststoff (NFK)
- Projektvorstellung: Green Composites for Green Technologies (Green2Green)
- Motivation f
 ür Permeabilit
 ätsanalysen
- Methodik der Permeabilitätsuntersuchungen
- Ergebnisse und Diskussion





Naturfaserverstärkter Kunststoff (NFK) **Definition**

Verbundwerkstoff bestehend aus:

Naturfaser

Pflanzliche Basis:

- Bastfasern (Flachs, Hanf, Jute, Kenaf, Ramie)
- Blatt- und Hartfasern (Sisal, Kokos)
- Samenfaser (Baumwolle, Kapok)

Tierische Basis

Mineralische Basis

Kunststoff

Duromere:

- **Epoxidharze**
- Acrylatharze
- Polyesterharze

Verstärkt im Fokus der aktuellen Forschung:

Reaktive Harz-Härter-Systeme auf Basis nachwachsender Rohstoffe

Thermoplaste:

- Polypropylen (PP)
- Polyethylen (PE)

Die Anordnung der Verstärkungsfaser wird bei der Herstellung des Faser-Matrix-Verbundes kontrolliert durchgeführt.





Projektvorstellung Green Composites for Green Technologies (FFG 848668)

Rohstoffbasis

Nutzhanf

Strukturbauteil KWKA Rotorblatt



Matrixkomponente

Hanfsamen > Öl > Epoxidharz

Verstärkungskomponente

Bastfasern > Verstärkungstextilien

Verarbeitung Flüssigimprägnierverfahren



- Kompetenzzentrum Holz GmbH
- MUL Department für Kunststofftechnik
- Waldland Naturstoffe GmbH
- Differences Kunststoffproduktions GmbH
- R&D Consulting GmbH
- C6 GmbH















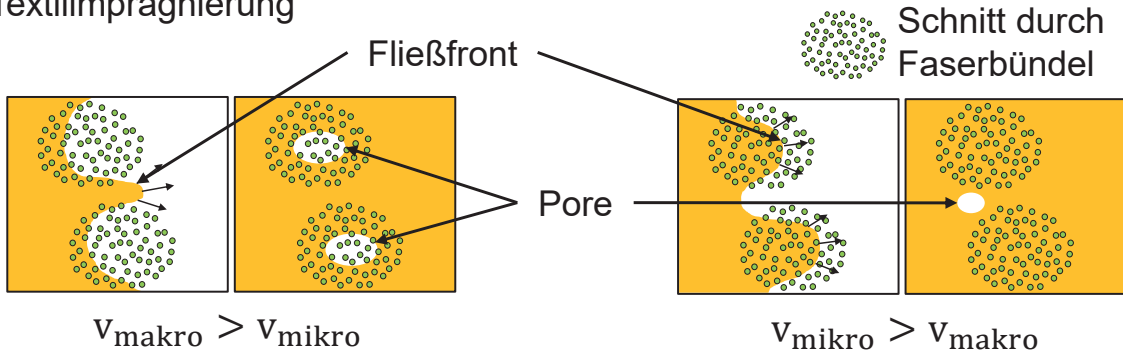


Permeabilitätsanalyse Motivation

Wichtige geometrische Kenngröße für poröse Materialien:

- Beschreibung der Durchlässigkeit gegenüber durchströmender Fluide
- Verwendung im Bereich der Flüssigimprägnierprozesse (Prozessentwicklung, Werkzeugdesign)
- Inputgrößen für Füllsimulationen (Parameteroptimierung, An- und Abgussstrategie)

 Berücksichtigung verschiedener Mechanismen bei der Textilimprägnierung

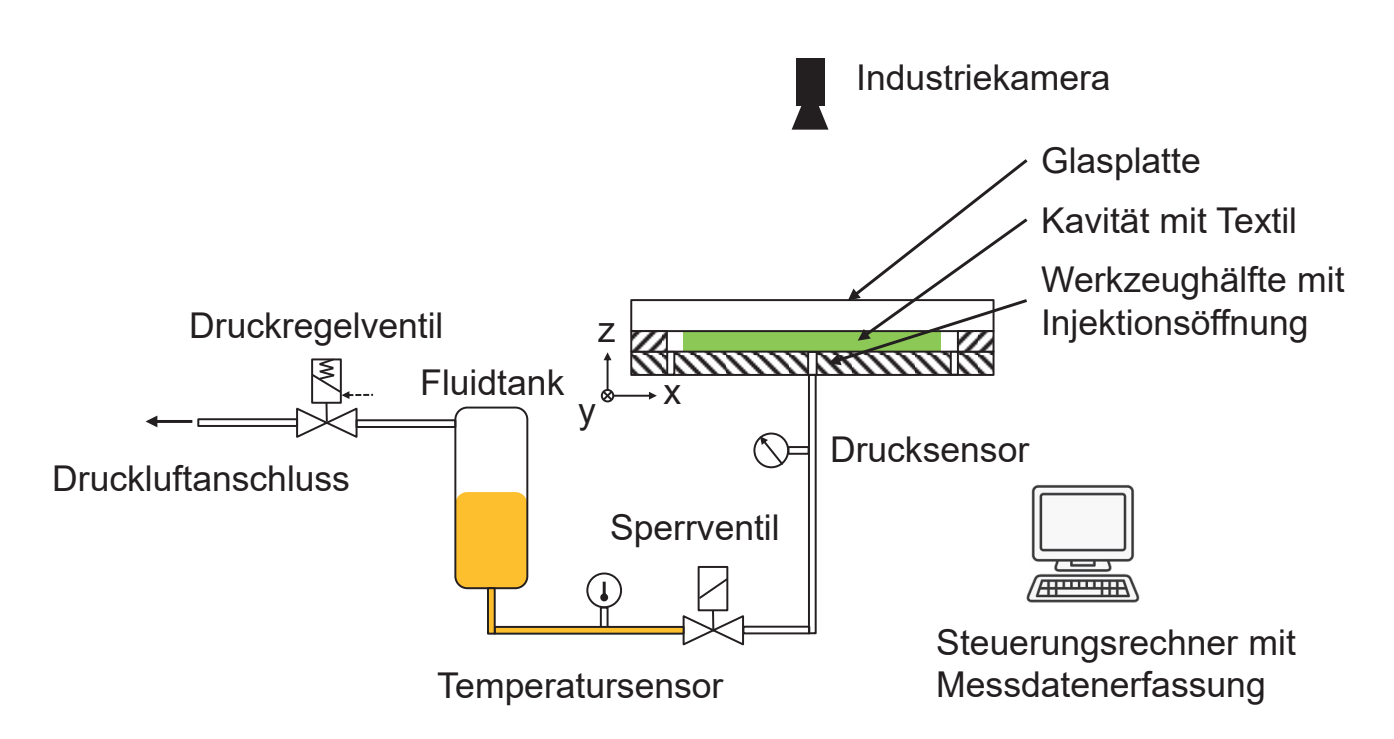


Flüssigimprägnierung auf Mikro- und Makroebene – Gefahr der Porenbildung bei ungünstiger Fließfrontgeschwindigkeit





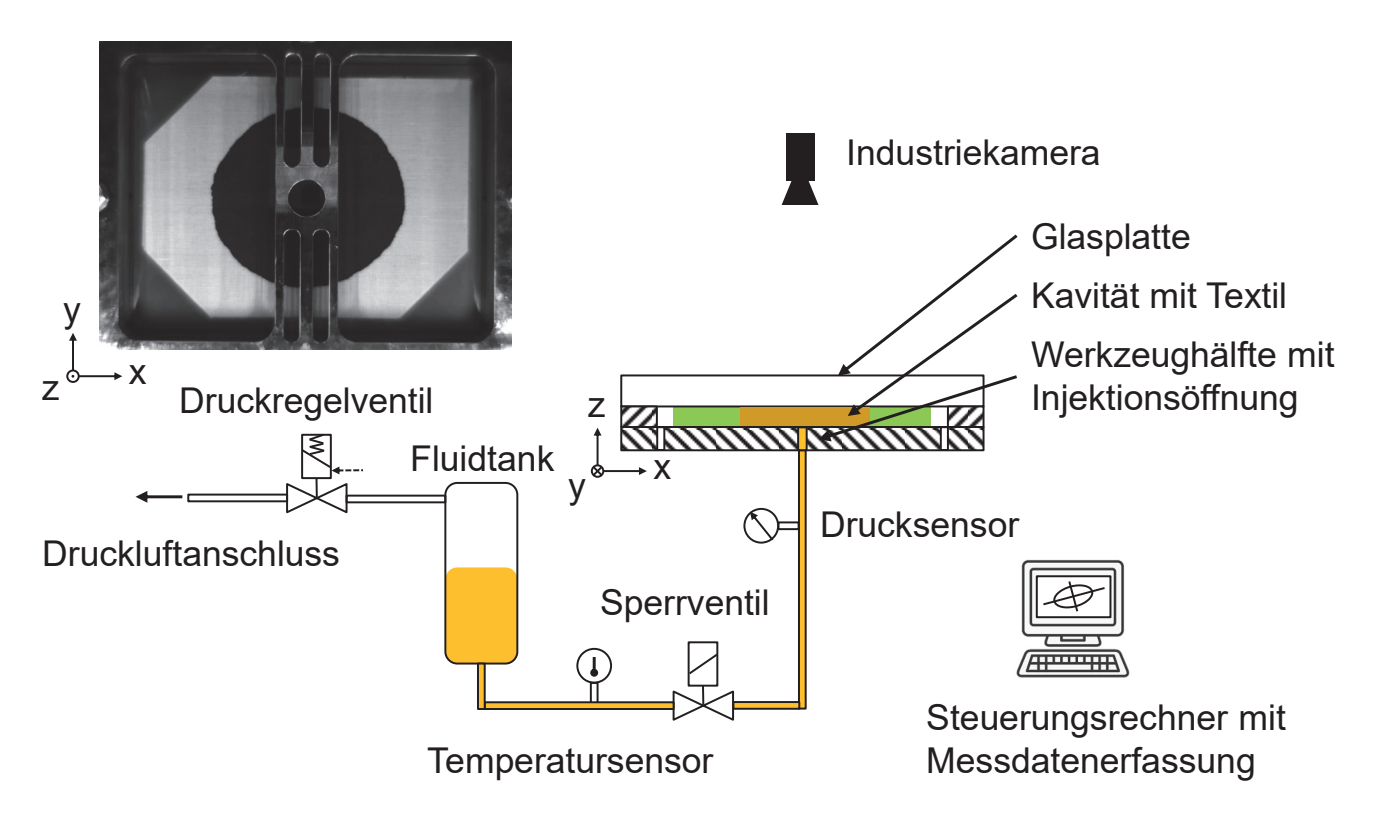
Methodik der Permeabilitätsuntersuchungen - Schematischer Aufbau des Prüfstandes







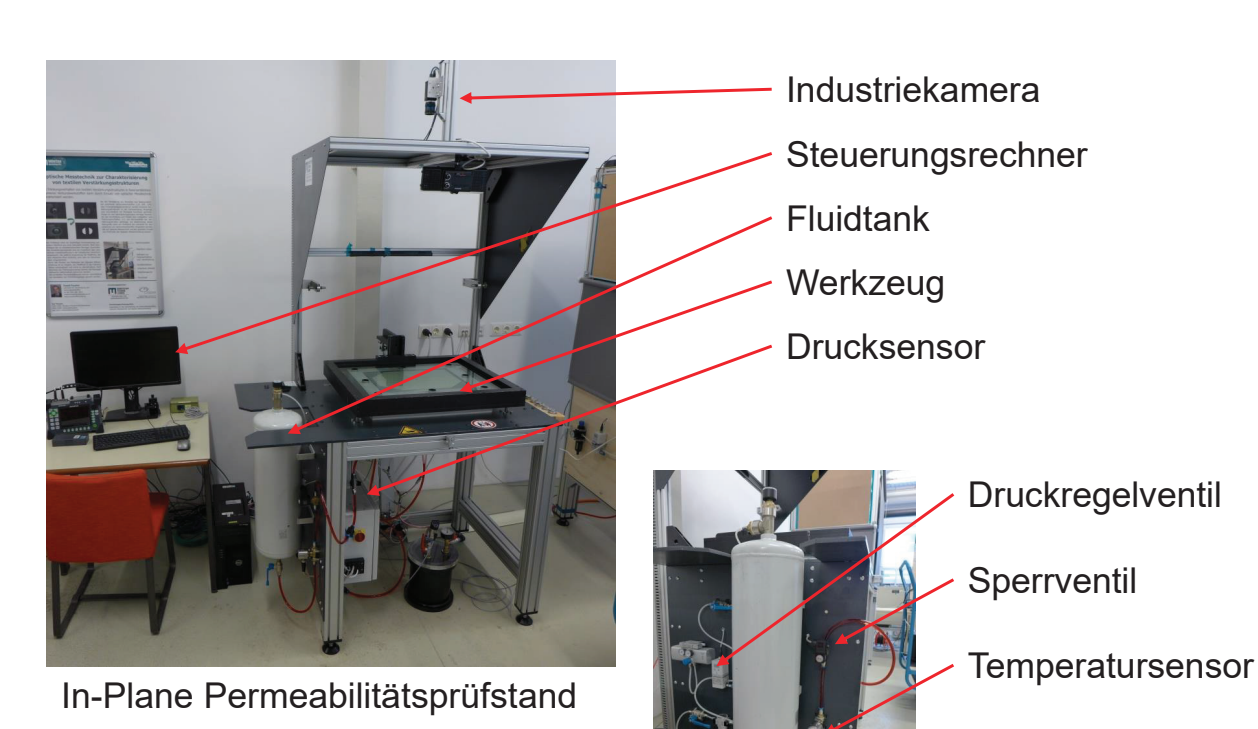
Methodik der Permeabilitätsuntersuchungen - Schematischer Aufbau des Prüfstandes







Methodik der Permeabilitätsuntersuchungen - Realer Aufbau des Prüfstandes







Methodik der Permeabilitätsuntersuchungen -Auswertung der Permeabilitätskennzahlen (1)

Gesetz von Darcy

 $\vec{\mathbf{v}}_{front} = -\frac{\mathbf{K}}{\mathbf{\Phi} \cdot \mathbf{n}} \cdot \vec{\mathbf{V}} \mathbf{p}$

mit

$$\Phi = (1 - \varphi_f)$$

Permeabilitätstensor

2D (In-Plane):

$$\mathbf{K} = \begin{bmatrix} k_{xx} & k_{xy} \\ k_{yx} & k_{yy} \end{bmatrix} \qquad \qquad \mathbf{K} = \begin{bmatrix} k_1 & 0 \\ 0 & k_2 \end{bmatrix}$$



$$\mathbf{K} = \begin{bmatrix} \mathbf{k}_1 & \mathbf{0} \\ \mathbf{0} & \mathbf{k}_2 \end{bmatrix}$$

 \vec{v}_{front} ... Fließfrontgeschwindigkeit

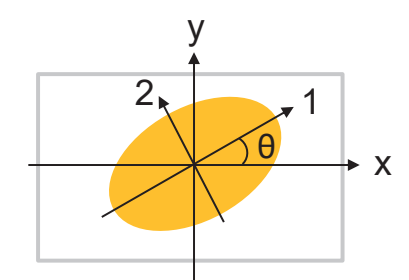
K ... Permeabilitätstensor

η ... Fluidviskosität

p ... Druckgradient

Φ... Porosität

φ_f ... Faservolumengehalt



Lösungsansatz nach Adams, Russel und Rebenfeld¹⁾

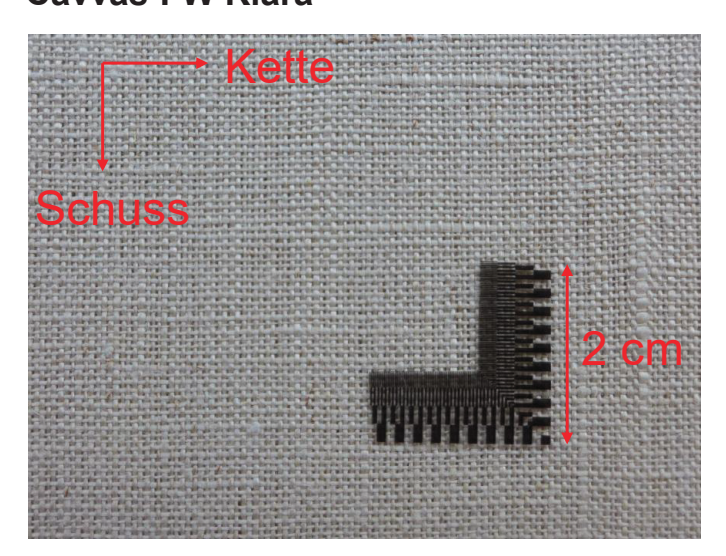
1) Adams, K. L.; Russel, B.; Rebenfeld, L. (1988): Radial penetration of a viscous liquid into a planar anisotropic porous medium. In: Int. J. Multiphase Flow.





Methodik der Permeabilitätsuntersuchungen -**Analysierte Textilien**

Cavvas FW Klara



Hanffasergewebe

Bindungsart: 1/1 Leinwand Flächengewicht: 210 g/m²

Webdichte:

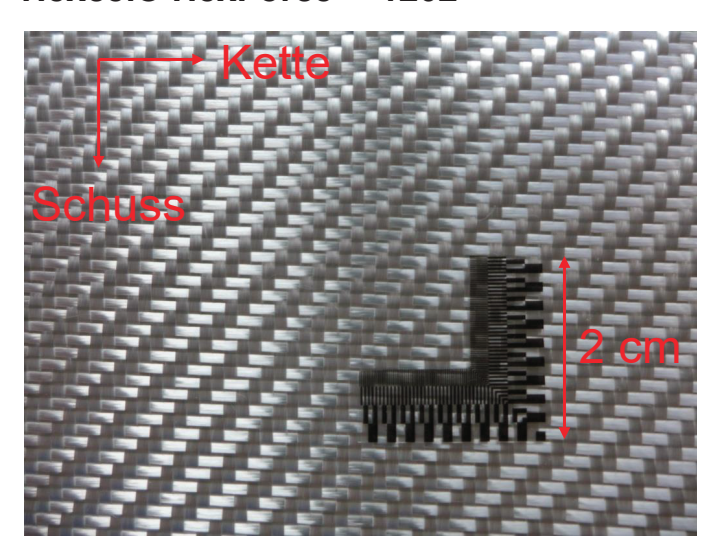
Kettfaden: 12,5 Garne/cm Schussfaden: 15 Garne/cm

Verhältnis K/S: 1:1,2



Methodik der Permeabilitätsuntersuchungen - Analysierte Textilien

Hexcel® HexForce™ 1202



Glasfasergewebe

Bindungsart: 2/2 Köper Flächengewicht: 290 g/m²

Nahezu ausgeglichene Kett- und Schussfadendichte

Webdichte:

Kettfaden: 7 Rovings/cm

Schussfaden: 7,2 Rovings/cm

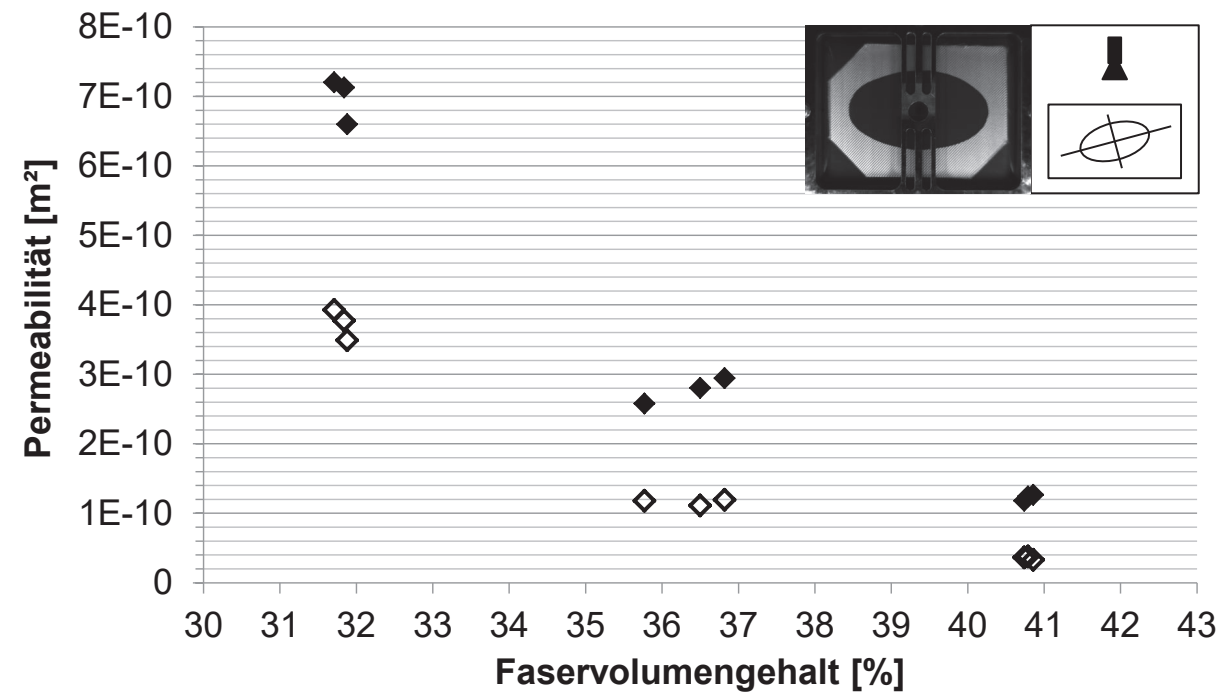
Verhältnis K/S: 1:1,03





Ergebnisse und Diskussion

Hexcel® HexForce™ 1202

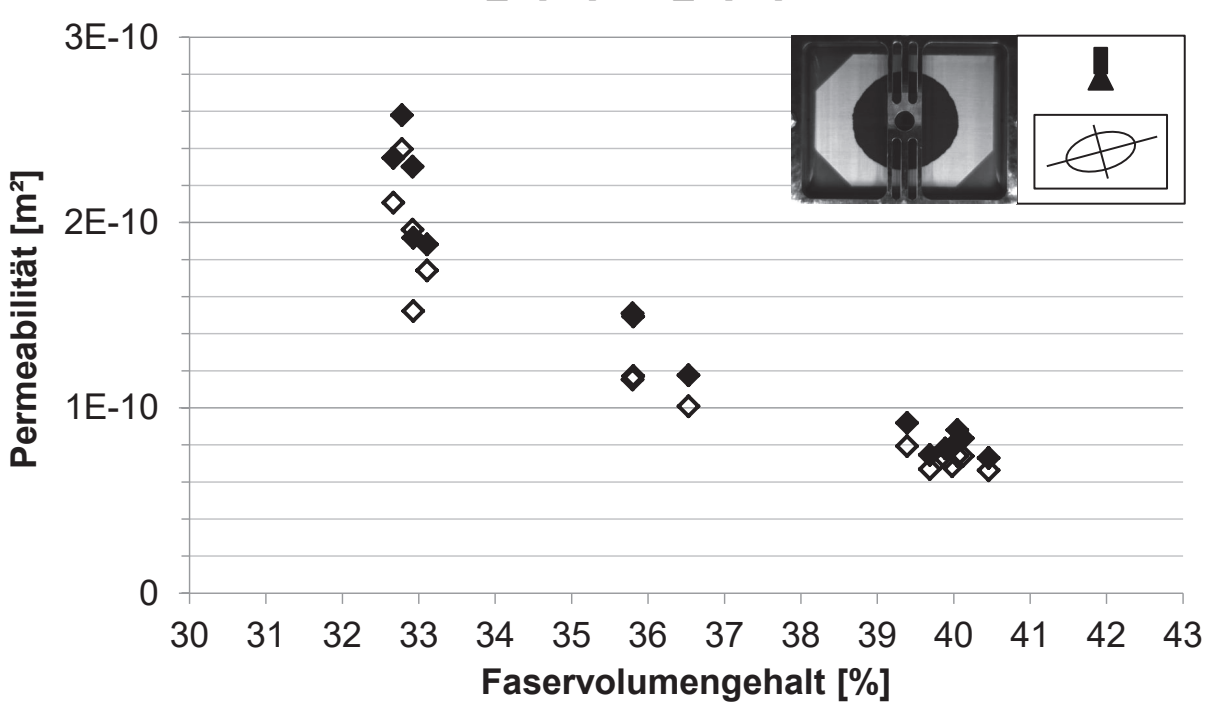






Ergebnisse und Diskussion

Cavvas FW Klara







Ergebnisse und Diskussion

Vergleich der Textilien unter Verwendung des geometrischen Mittels der Permeabilitätskennzahlen:

$$k_{\rm m} = \sqrt{k_1 \cdot k_2}$$

Modellierung der Permeabilität-Porosität Beziehung mit Hilfe der angepassten Carman-Kozeny Gleichung $^{2)}$ $^{3)}$

$$k = \frac{\Phi^{n+1}}{C(1-\Phi)^n}$$

Φ... Porosität

n, C... empirische Modellkonstanten

³⁾ van Nguyen, Hau; Lagardère, Mylène; Park, Chung Hae; Panier, Stéphane (2014): Permeability of natural fiber reinforcement for liquid composite molding processes. In: *J Mater Sci* 49 (18), S. 6449–6458. DOI: 10.1007/s10853-014-8374-1.

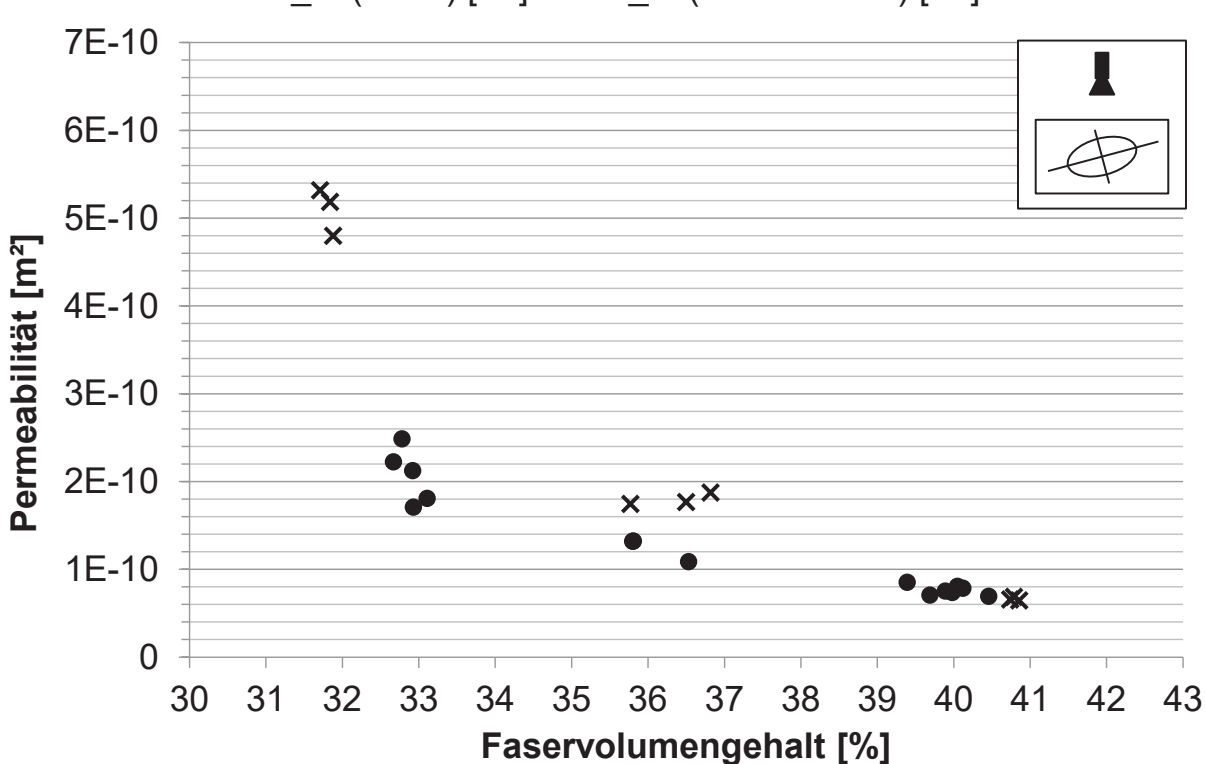




²⁾ Rodriguez, E.; Giacomelli, F.; Vazquez, A. (2004): Permeability-Porosity Relationship in RTM for Different Fiberglass and Natural Reinforcements. In: *Journal of Composite Materials* 38 (3), S. 259–268. DOI: 10.1177/0021998304039269.

Ergebnisse und Diskussion

• k_m (Klara) [m²] × k_m (Hexcel 1202) [m²]

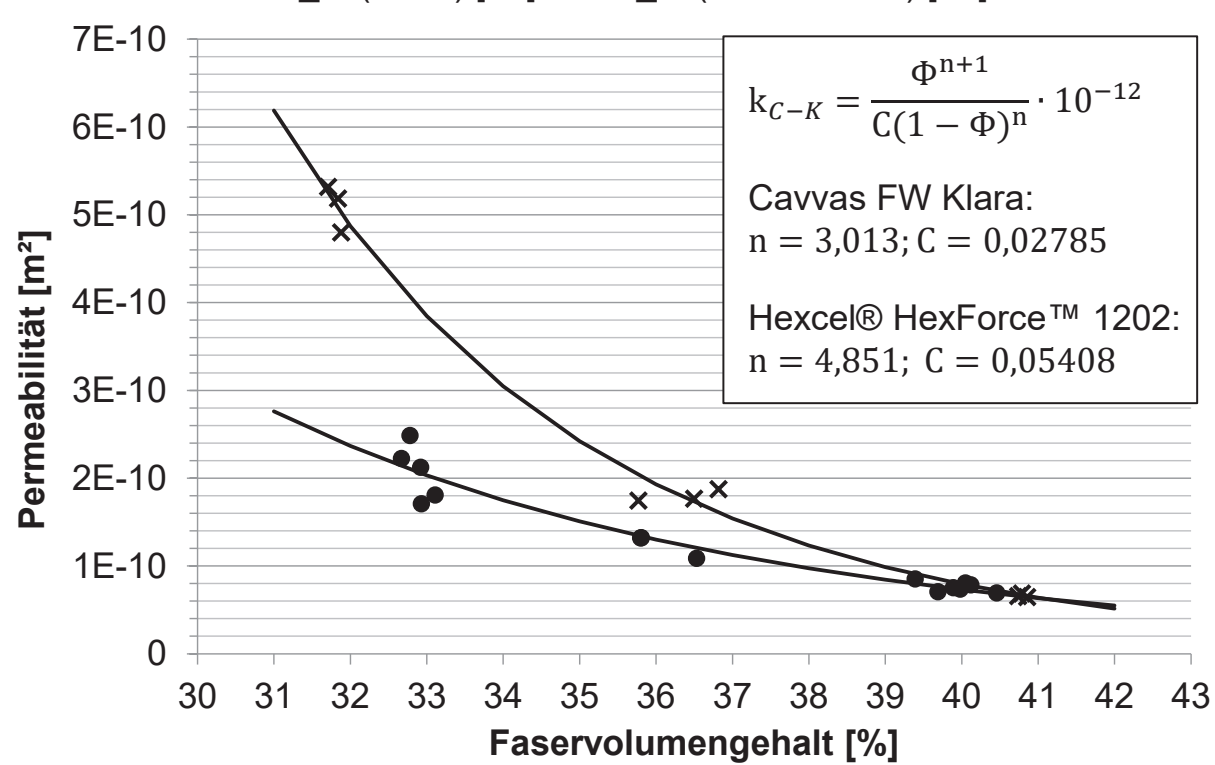






Ergebnisse und Diskussion

• k m (Klara) [m²] × k m (Hexcel 1202) [m²]







Ergebnisse und Diskussion

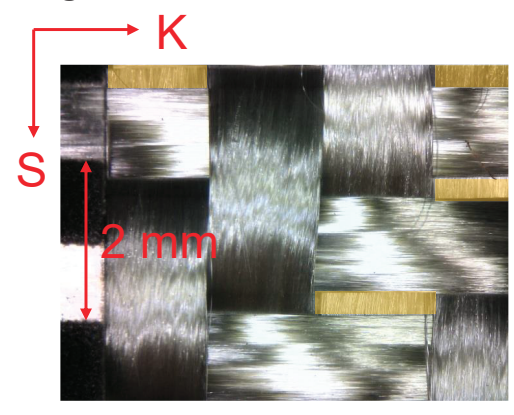
• k m (Klara) [m²] × k_m (Hexcel 1202) [m²] 1E-09 Permeabilität [m²] 1E-10 1E-11 32 33 35 36 40 30 31 34 37 38 39 41 42 43 Faservolumengehalt [%]



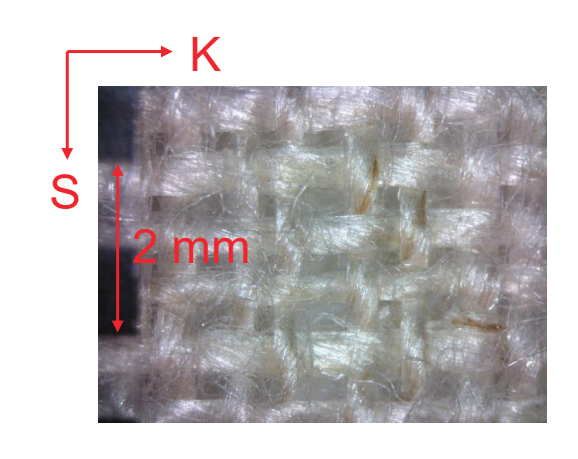


Ergebnisse und Diskussion

Vergleich der Textilien



- Lücken zwischen Kettfäden sind bevorzugte Fließwege des Fluids.
- Mit höherem Faservolumengehalt nimmt der Einfluss der Fließkanäle zu (höherer Anisotropiegrad).



- Markoskopische Freiräume sind vergleichsweise groß.
- Kleinere Permeabilitätswerte aufgrund der stapelfaserspezifischen Garnarchitektur (Verdrillung, abstehende Fasern, runder Querschnitt)







Danksagung

Die vorgestellten Ergebnisse sind Teil des Projektes "Green Composites for Green Technologies". Dieses Projekt wird aus Mitteln des Bundesministeriums für Verkehr, Innovation und Technologie (BMVIT) gefördert und im Rahmen des Programms "Produktion der Zukunft" der Österreichischen Forschungsförderungsgesellschaft (FFG) durchgeführt. Die Autoren danken den Fördergebern für die finanzielle Unterstützung.









Vielen Dank für Ihre Aufmerksamkeit

Yannick Blößl

Lehrstuhl für Verarbeitung von Verbundwerkstoffen Montanuniversität Leoben

Otto Glöckel-Str. 2/III 8700 Leoben

Tel.: +43 (0)3842 402 2723

Email: yannick.bloessl@unileoben.ac.at



